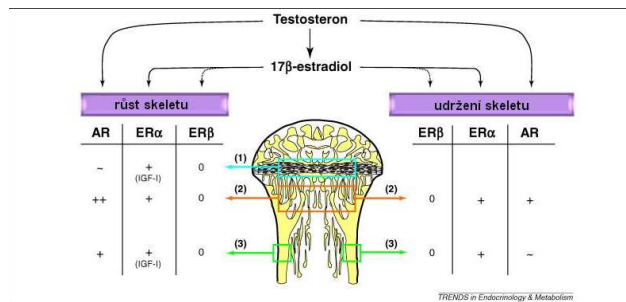
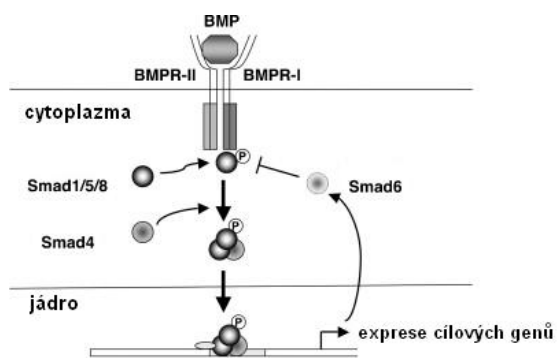


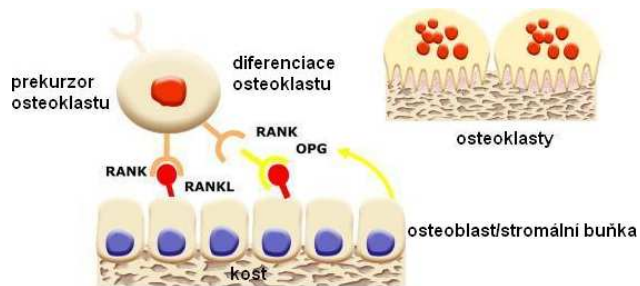
Příloha disertační práce Gradošová



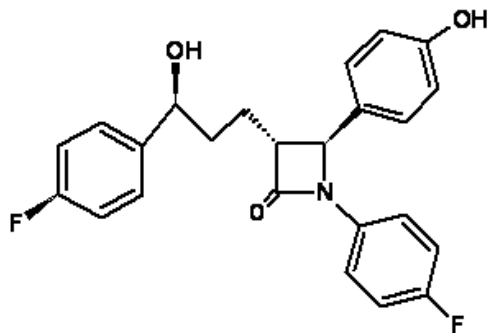
Obrázek 1.



Obrázek 2

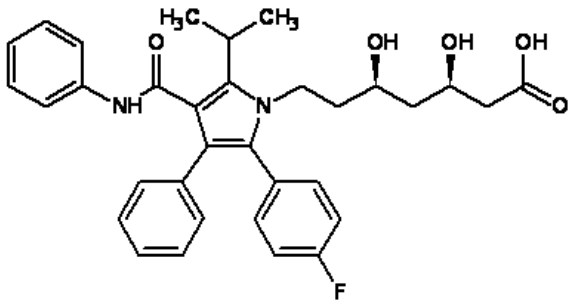


Obrázek 3.

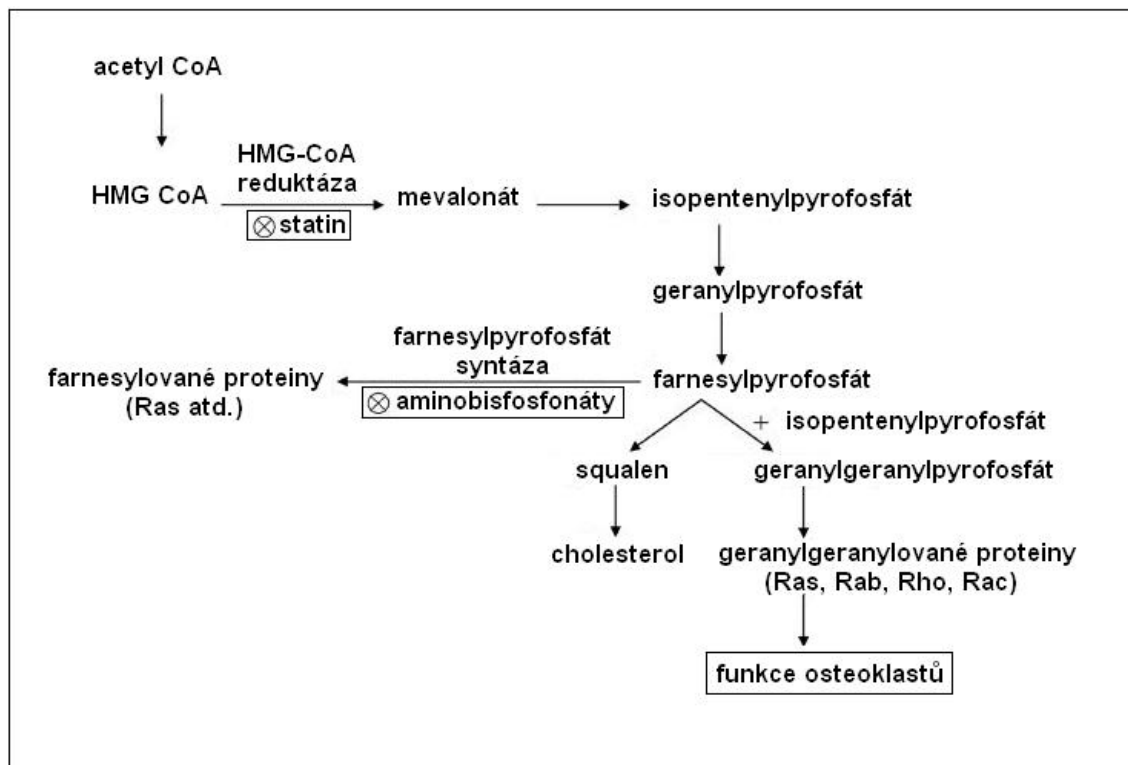


Obrázek 4. Chemický strukturní vzorec ezetimibu

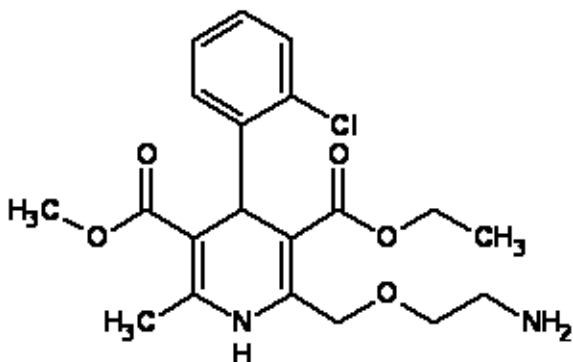
(vytvořeno programem ACD ChemSketch, ver. 9; Advanced Chemistry Development, Inc.)



Obrázek 5. Chemický strukturální vzorec atorvastatinu
(vytvořeno programem ACD ChemSketch, ver. 9; Advanced Chemistry Development, Inc.)

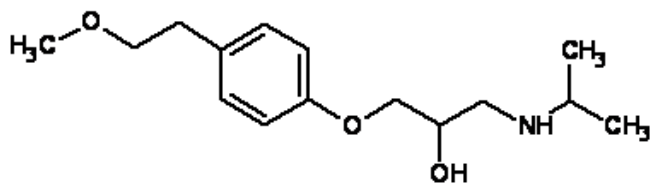


Obrázek 4



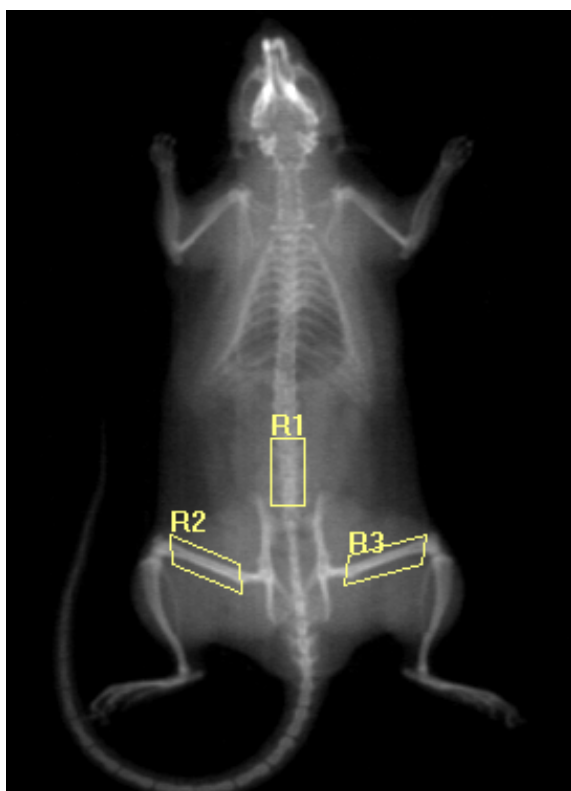
Obrázek 7 Chemický strukturální vzorec amlodipinu

(vytvořeno programem ACD ChemSketch, ver. 9; Advanced Chemistry Development, Inc.)



Obrázek 8. Chemický strukturální vzorec metoprololu

(vytvořeno programem ACD ChemSketch, ver. 9; Advanced Chemistry Development, Inc.)



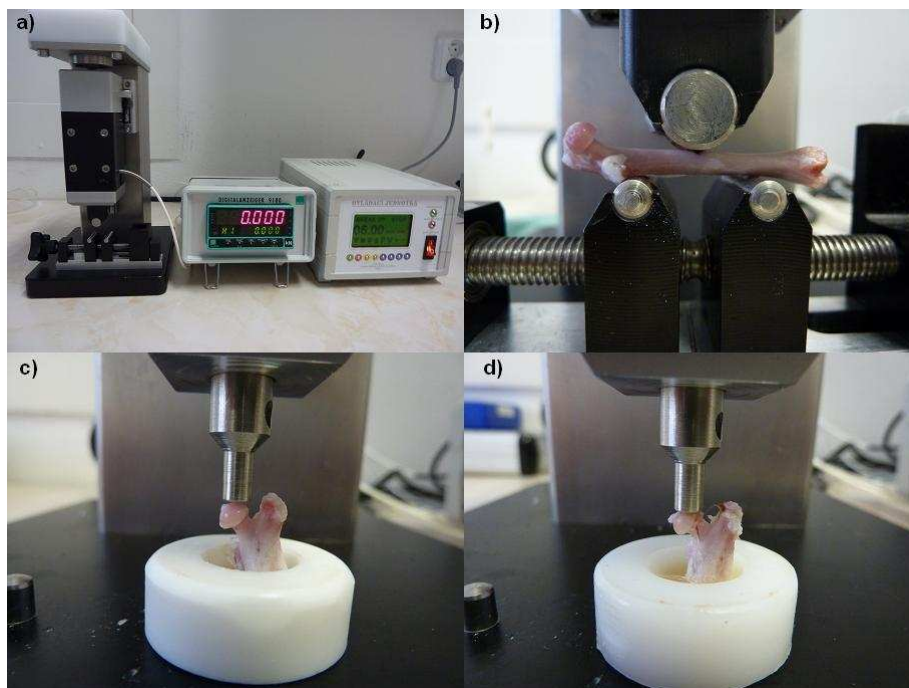
Obrázek 9 Scan potkana se zvýrazněnými oblastmi hodnocení kostní minerální hustoty
R1-bederní obratle; R2 a R3-oblast femurů



Obrázek 10



Obrázek 5

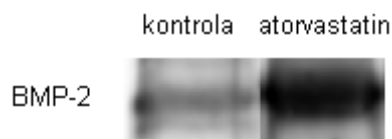


Obrázek 12

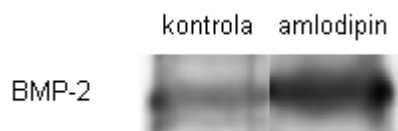
Obrázek 6: Vliv ezetimibu na hladinu BMP- 2 v proximální části tibiae u potkanů kmene Wistar.



Obrázek 7: Vliv atorvastatinu na hladinu BMP-2 v proximální části tibiae u potkanů kmene Wistar.



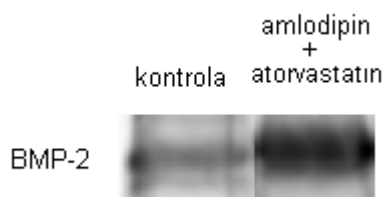
Obrázek 8: Vliv amlodipinu na hladinu BMP-2 v proximální části tibiae u potkanů kmene Wistar.



Obrázek 9: Vliv metoprololu na hladinu BMP- 2 v proximální části tibiae u potkanů kmene Wistar.



Obrázek 10: Vliv amlodipinu+atorvastatinu na hladinu BMP-2 v proximální části tibiae u potkanů kmene Wistar.



Tabulka 1: Rozdělení dle WHO podle naměřených hodnot BMD.

skupiny	T skóre
normální kostní hmota	0 až -1,0 SD
nízká kostní hmota - osteopenie	mezi -1,0 až -2,5 SD
osteoporóza	nižší než -2,5 SD
těžká osteoporóza	nižší než -2,5 SD s kompresivními zlomeninami

BMD (bone mineral density) – hustota kostního minerálu; SD (standard deviation) – standardní odchylka

